

特別研究報告書

クラスタ化スーパースケーラ・プロセッサ における直接依存行列型 スケジューリング方式

指導教官 富田 真治 教授

京都大学工学部情報学科

小田 累

平成13年2月8日

クラスタ化スーパースケーラ・プロセッサにおける直接依存行列型スケジューリング方式

小田 累

内容梗概

スーパースケーラ・プロセッサの構成要素のうち、将来クロック速度を制限するものとして考えられているのが、Wakeup ロジックと Bypass ロジックの遅延である。

Wakeup ロジックとは、動的命令スケジューリングのため、命令の実行に必要なデータの有効性を追跡するロジックである。この Wakeup ロジックは、配線遅延に支配されるために、LSI の微細化の恩恵を受けにくい。また、他の多くの構成要素とは異なり、複数のパイプライン・ステージに分割することができない。よって、Wakeup ロジックは、今後 LSI の微細化・パイプラインの深化に伴って一層クリティカルになっていくと予想される。

Bypass ロジックとは、演算器内でのレジスタ及び ALU の間でのデータの転送を行う Bypass のロジックのことである。Bypass ロジックでも、同様に配線遅延に支配されるために、LSI の微細化の恩恵を受けにくい。よって、Bypass ロジックも同様に、今後 LSI の微細化・パイプラインの深化に伴って一層クリティカルになっていくと予想される。

wakeup ロジックを高速化させる手法としては、我々の提案した直接依存行列型スケジューリング方式がある。一方で、Bypass ロジックの遅延の対策としては、スーパースケーラ・プロセッサのクラスタ化を行う研究が行われている。

本稿では、このクラスタ化スーパースケーラ・プロセッサと、直接依存行列型スケジューリング方式を組み合わせた場合について議論する。

クラスタ化スーパースケーラ・プロセッサでは、命令キューの構成として集中、分散の2種類に分類できる。分散されている場合には、各キューのエントリ数も軽減でき、wakeup の遅延を更に減少すると考えられる。しかし、一方でその構成の違いから、集中型は分散型と比べて IPC が高くなると考えられる。

直接依存行列型スケジューリング方式では、パイプライン化が不可能である場合と、パイプライン化可能である場合のそれぞれに、個別の依存行列を適用する。前者に対しては、wakeup ロジックの遅延を減少させるために、さらに依存行列の縮小化を行う。この場合、依存行列の縮小化による wakeup ロジックの

遅延の減少とIPCとはトレード・オフであり、IPCの悪化を許容範囲に抑えつつ、どこまで遅延を減少できるかは、命令キューのエントリ数によって決まる。

本稿では、直接依存行列型スケジューリングをクラスタ化スーパースケーラ・プロセッサに実装するにあたり、集中、分散の2つの命令キューの構成に加えて、両方の利点をあわせ持つと考えられる仮想的に命令を分散する方式を提案する。

今回、集中、分散の命令キューの構成及び、提案する仮想的分散キューの構成を持つクラスタ化スーパースケーラ・プロセッサに対して、直接依存行列型スケジューリングを導入し、wakeupの遅延及びIPCの測定を行った。

その結果、命令キューを分散化することによるwakeupロジックの遅延の減少は行われたが、それ以上に命令キューを集中した方式が、仮想的に命令キューを分散化した方式、及び命令キューを分散化した方式よりも高いIPCを示した。これは、プログラムの命令並列性が低く、スーパースケーラ・プロセッサの演算器の稼働率が低いため、1つのクラスタだけで十分な命令処理が行われているからだと考えられる。

Direct dependence matrix scheduling scheme on clustered superscalar processors

RUI ODA

Abstract

Delay of Wakeup logic and Bypass logic is thought as what will restrict clock speed among the elements of a superscalar processor in the future.

Wakeup logic is the logic which pursues the validity of data required for execution of instructions because of dynamic instructions scheduling. The wakeup logic is influenced with wiring delay, so it can not receive the benefit of miniaturization of LSI easily. Moreover, unlike many of other elements of a superscalar processor, it cannot divide into two or more pipeline stages.

Bypass logic is the logic of Bypass which transmits the data between the register in operation units and ALUs. Like wakeup logic, the Bypass logic is governed by wiring delay, so it cannot receive the benefit of miniaturization of LSI, too.

Therefore, it is expected that Wakeup logic and Bypass logic will become much more critical with enhancement of the miniaturization and pipeline of LSI from now on.

As a technique which makes wakeup logic accelerated, there is a direct dependence matrix based scheduling scheme. On the other hand, the research of clustered superscalar processor is done as a measure of delay of Bypass logic.

This thesis discusses the direct dependence matrix based scheduling scheme on clustered superscalar processor.

By the direct dependence matrix based scheduling scheme, an individual dependence matrix is applied to each in the case where the latency of the path is 1 cycle, and in the case where the latency of the path is one or more cycle.

The former dependence matrix is further narrowed in order to decrease delay of wakeup logic. Then, the delay of wakeup logic by narrowed dependence matrix and IPC are a trade-off, so it is decided by the number of entries of instruction queue how far delay can be decreased, suppressing decrease of IPC to tolerance level.

a clustered superscalar processor can classify into the two type. One is the

type of concentrated instruction queue and the other is the type of decentralized instruction queue. In the latter type, the number of entries of each queue can also be distributed and it is considered that delay of wakeup decreases further. However, compared with IPC of the decentralized instruction queue type, IPC of centralized instruction queue is presumed to become high, because of the different components between the two type.

In this thesis, when mounting direct dependence matrix based scheduling scheme in a clustered superscalar processor, in addition to the two type of concentrated and distributed instruction queue, it is proposed that the type of virtually decentralized instruction queue, which is considered to have both of advantages.

This time, we have measured the wakeup logic latency and IPC of the three type of clustered superscalar processor, the concentrated, decentralized, and virtual decentralized instruction queue type, with direct dependence matrix based scheduling.

The result is that IPC of the centralized instruction queue type is higher than that of virtually decentralized, and decentralized instruction queue. The reason of the result is considered that only one clustered superscalar processor sufficiently process instructions because of the low operating ratio of the operation unit of a superscalar processor originated by low instruction level parallelism.

クラスタ化スーパーケーラ・プロセッサにおける直接依存行列型スケジューリング方式

目次

第 1 章	はじめに	1
第 2 章	クラスタ化スーパーケーラ・プロセッサ	2
2.1	クラスタ化スーパーケーラ・プロセッサ	2
2.2	クラスタ化スーパーケーラの構成	4
第 3 章	直接依存行列型スケジューリング方式	4
3.1	動的命令スケジューリング方式	5
3.1.1	動的命令スケジューリングの原理	5
3.1.2	動的命令スケジューリングとパイプライン	6
3.2	直接依存行列型スケジューリング方式	7
3.2.1	D 行列の概要	7
3.2.2	D 行列の高速化	8
第 4 章	クラスタ化スーパーケーラ・プロセッサと直接依存行列型スケジューリングの組み合わせ	11
4.1	D 行列と集中キュー型スーパーケーラ・プロセッサ	12
4.1.1	D 行列の導入方法	12
4.1.2	Steering ロジック	12
4.2	D 行列と分散キュー型スーパーケーラ・プロセッサ	12
4.2.1	D 行列の導入方法	12
4.2.2	Steering ロジック	14
4.3	D 行列と仮想分散キュー型スーパーケーラ・プロセッサ	15
4.3.1	D 行列の導入方法	15
4.3.2	Steering ロジック	15
4.4	各方式の wakeup の遅延と IPC の比較	16
4.4.1	wakeup の遅延の比較	17
4.4.2	IPC の比較	17
4.4.3	集中キュー型、分散キュー型に対する仮想分散キュー型の位置付け	20

第 5 章	性能評価	21
5.1	評価モデル	21
5.2	評価結果	21
第 6 章	まとめ	23
	謝辞	24
	参考文献	24

第1章 はじめに

スーパースケラ・プロセッサの性能は、IPC(Instructions per Cycle) と、クロック速度の積で表すことができる。スーパースケラ・プロセッサの性能を向上させるためには、IPC 及びクロック速度を向上させればよい。

スーパースケラ・プロセッサのIPC を最も直接的に向上させるための方法として、命令発行幅 (**IW** :Issue Width) 及びウィンドウサイズ (**WS** :Window Size) を増やす方法がある。実際、初期のスーパースケラ・プロセッサは、トランジスタ数の許す範囲で IW,WS を増やすことで大幅にIPC を向上させてきた。しかし現在では、LSIの微細化に伴って、トランジスタ数ではなく、クロック速度がIW、WS を制限する主因となりつつある。IW, WS を増やしても単純にIPC が向上するわけではないので、徒にIW, WS を増加させれば、クロック速度の低下をまねき、かえって全体の性能を悪化させることになる。

スーパースケラ・プロセッサの構成要素のうち、将来クロック速度を制限するものとして考えられているのが、Bypass ロジックとWakeup ロジックの遅延である [1]。

Bypass ロジックとは、演算器内でのレジスタ及びALUの間でのデータの転送を行うロジックのことである。Bypass ロジックでも、同様に配線遅延に支配されるために、LSIの微細化の恩恵を受けにくい。よって、Wakeup ロジックと同様に今後LSIの微細化に伴って一層クリティカルになっていくと予想される。バイパス遅延を解決策として、クラスタ化スーパースケラ・プロセッサが研究されている [2] [3] [4] [5]。クラスタ化スーパースケラ・プロセッサは、命令キューの構成として集中、分散の2種類に分類できる。分散されている場合には、各キューのエントリ数も軽減でき、wakeupの遅延を更に減少すると考えられる。しかし、一方でその構成の違いから、集中型は分散型と比べてIPCが高くなると考えられる。

Wakeup ロジックとは、動的命令スケジューリングのための命令の実行に必要なデータの有効性を追跡するロジックである。このWakeup ロジックは、配線遅延に支配されるために、LSIの微細化の恩恵を受けにくい。また、他の多くの構成要素とは異なり、複数のパイプライン・ステージに分割することができない。よって、Wakeup ロジックは、今後LSIの微細化・パイプラインの深化に伴って一層クリティカルになっていくと予想される。Wakeupのロジックを高

速化させる方法のひとつとして、直接依存行列型スケジューリング方式がある。
[6] 直接依存行列型スケジューリングは、依存行列を縮小化することで wakeup ロジックの遅延の減少を実現している。この場合、依存行列を縮小化することによる wakeup ロジックの遅延の減少は、IPC とトレード オフであり、IPC の悪化を許容範囲に抑えつつ、どこまで遅延を減少できるかは、命令キューのエントリ数によって決まる。

本稿では、直接依存行列型スケジューリングをクラスタ化スーパーケーラ・プロセッサに実装するにあたり、集中、分散の2つの命令キューの構成に加えて、両方の利点をあわせ持つと考えられる仮想的に命令を分散する方式を提案する。そして、クラスタ化スーパーケーラ・プロセッサの3つの方式について、各方式のIPCの比較、及びキューを分散化した場合における wakeup ロジックの遅延の減少の効果測定を行う。

以下、第2章では、クラスタ化スーパーケーラ・プロセッサについて紹介し、第3章では、直接依存行列型スケジューリングについて詳細を述べる。第4章では、クラスタ化スーパーケーラ・プロセッサに対する直接依存行列型スケジューリング方式の導入について述べ、第5章では、第4章に対する実装及び性能評価を行う。そして、最後に第6章で本稿のまとめを行う。

第2章 クラスタ化スーパーケーラ・プロセッサ

第2章では、クラスタ化スーパーケーラ・プロセッサについて述べる。一般に、配線遅延は、配線の長さの長くなるにつれ大きくなること、及びWS及びIWが増えるにつれてBypassロジックの配線が長くなることから、Bypassロジックの遅延はIWが増大するにつれて今後ますますクリティカルになると予想される。

このBypassロジック遅延の解決方法として研究されている、クラスタ化スーパーケーラ・プロセッサについて次節から述べる。

2.1 クラスタ化スーパーケーラ・プロセッサ

この節では、前節で述べたBypassロジックの遅延を解決するための手法であるクラスタ化スーパーケーラ・プロセッサについて述べる。

図1(a)(b)にクラスタ化の例を示す。図1(a)は、4命令同時発行の従来のスー

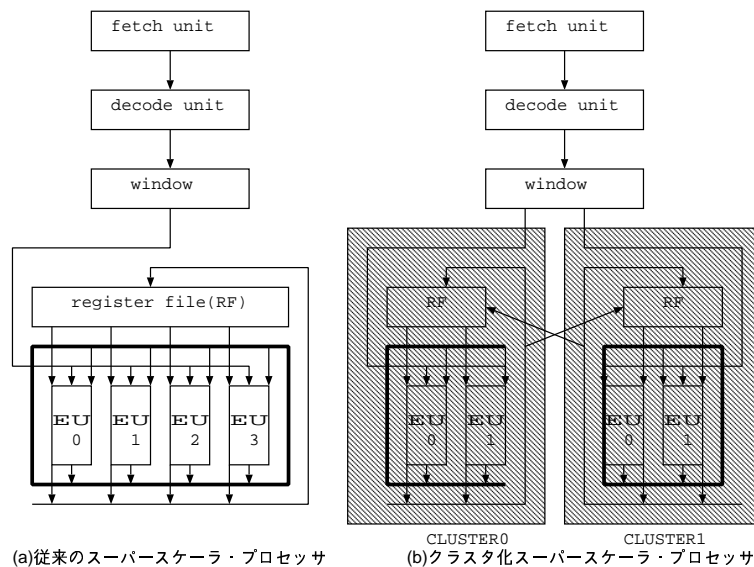


図1: クラスタ化スーパースケーラ

パースケーラ・プロセッサを、図1(b)は、(a)をクラスタ数2で分割したクラスタ化スーパースケーラ・プロセッサを示している。

図1においてはスーパースケーラ・プロセッサは、フェッチ・ユニット、デコード・ユニット 命令ウィンドウ、レジスタ・ファイル (**RF** : Register File)、実行ユニット (**EU** : Execution Unit) を示す。図1(b)の網掛け部分がクラスタであることを示す。また、図1の太線は、ローカルバスを示しており、ローカルバスは、それぞれのクラスタ内でのみバイパスされている。

一般に命令発行幅が N のスーパースケーラ・プロセッサを、 N/n 個の実行ユニットを持つ n 個のクラスタに分割した場合、バイパス先の実行ユニット数は、 $1/n$ となる。一方で、クラスタ化スーパースケーラ・プロセッサ全体の命令発行幅は、各クラスタの命令発行幅を足し合わせた N であり、クラスタ化する前のそれと変わらない。

クラスタ化された場合のローカルバスは、図1が示すように、クラスタ化されていないスーパースケーラと比較して短くなる。その結果、クラスタ内の Bypass ロジックの遅延を減少させることができる。

一方、異なるクラスタ間の場合、CLUSTER0 の EU0 結果を CLUSTER1 の EU1 が使用する場合には、CLUSTER1 の EU1 は、CLUSTER0 にあるレジスタファイルから結果を参照しなくてはならない。よって、異なるクラスタ間での転送には同じクラスタ間での通信と比べて1サイクル余計にペナルティが生じ

てしまうことになる。今後、このクラスタ間の転送によるペナルティを **cluster delay** と呼ぶ。

このクラスタ化の技術は、今後、IWが増えるにつれてクリティカルとなっていく Bypass ロジックの遅延を低減する上でますます重要となっていくと予測される。

2.2 クラスタ化スーパーケーラの構成

演算器にクラスタリングを施した場合、演算器がクラスタリングされる以外にもスーパーケーラの構成が変化する。

まず、演算器のクラスタリングを行った場合、フェーズのある段階で必ず命令をどのクラスタ演算器に振り分けるかを判定するロジックが必要となる。このロジックを **Steering** という。一般に、Steering を行うフェーズは、dispatch と issue の場合の 2 つの場合がある。以下、dispatch で行う Steering を **Dispatch_Steering**、issue で行う Steering を **Exec_Steering** と呼ぶ。

演算器をクラスタ化させる場合に、Dispatch_Steering の場合には、各クラスタに対応した命令キューに命令を割り当てるため、命令キューを各クラスタ毎に分散化させる。この Dispatch_Steering を行い命令キューを分散化したものを、「分散キュー型」と呼ぶ。同様に Exec_Steering を行う場合は、各クラスタに命令を割り当てる直前に Exec_Steering を行うため、特に命令キューを分散化させる必要はなく、命令キューは 1 つに集中している。これを「集中キュー型」と呼ぶ。

この集中キュー型と分散キュー型の方式の違いは、直接依存行列スケジューリングをクラスタ化スーパーケーラ・プロセッサに導入する際に依存行列の構成と深く関係する。これについては、第 4 章で詳しく述べる。

第 3 章 直接依存行列型スケジューリング方式

第 3 章では、まず、動的命令スケジューリング方式について述べ、その中で Wakeup + Select ロジックの遅延がクリティカルになる理由を述べる。その後、その解決方法のひとつとして我々の提案する直接依存行列型スケジューリング方式の詳細を述べる。

3.1 動的命令スケジューリング方式

スーパースケラの構成する基本構造のうち、演算器それ自体以外のほとんど全ての遅延は、IW, WS の増加関数で与えられる。構成要素としては、キャッシュ、命令フェッチ・ロジック、レジスタ・ファイル、オペランド・バイパス、そして、この章で述べる動的命令スケジューリングを行うロジックなどがある。そのうちいくつかの処理に対しては、パイプラインングやクラスタリングなどの技術によって、1 サイクルに終えなければならない処理の遅延を大幅に短縮できる。

これらの技術は、ロジックの遅延を、一部の命令の実行レイテンシや、何らかのペナルティに転化するものである。したがって、これらの技術が有効であるためには、クロック速度の向上に対して、IPC の悪化の度合いが十分に小さい必要がある。

しかし、動的命令スケジューリングを行うロジックに対しては、このような技術は効果的でない。本節では、その理由について述べる。以下、まず、3.1.1 項においてスーパースケラの動的命令スケジューリングの原理についてまとめ、3.1.2 項でスケジューリングの処理と命令パイプラインについて説明する。

3.1.1 動的命令スケジューリングの原理

Out-of-Order スーパースケラにおける動的命令スケジューリングとは、端的に言えば、空いている機能ユニットに対して、左/右のソース・オペランドに対応するバッファのエントリにデータがそろっている命令を選択することである。したがって、原理的には、左/右のデータが使用可能かどうかを表すフラグ $rdyL/R$ のテーブルが存在し、スケジューリングにおける中心的な役割を果たす。

動的スケジューリングの処理のうち特に動的命令スケジューリングに関わるフェーズは、(1)dispatch (2)wakeup (3)select の3つのフェーズである。ある命令 I_c の $rdyL/R$ に着目すると、スケジューリングの処理の流れは以下のように説明できる；なお、 I_c の左ソース・オペランドは、先行する命令の I_p の結果、右は即値であるとする。

(1)dispatch

$rdyL/R$ の初期化は、命令がウィンドウにディスパッチされるときに行われる。 I_c の右オペランドは即値であるから、その $rdyR$ は、無条件に"1"に初期化さ

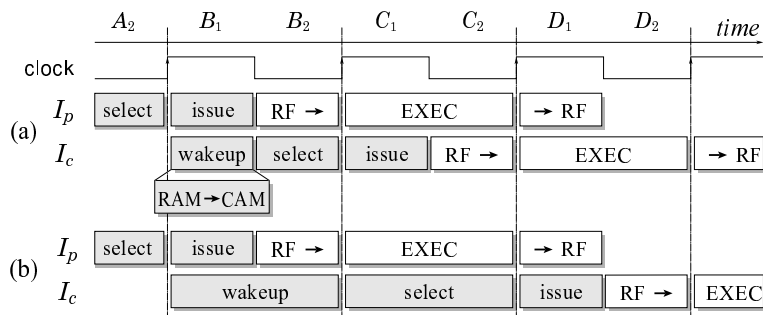


図2: 命令パイプラインの構成

れる。一方、rdyLの初期値は、 I_p が既に実行されているかどうか依存する。既に実行され、その結果が利用可能である場合には、rdyLは、“1”に初期化される。既に命令が実行されている場合、及び即値であれば、初期値には“1”を、まだ命令が実行されていない場合は、rdyLは“0”に初期化され、 I_c は、 I_p が実行されるのをまって、ウィンドウ内で『眠る(sleep)』ことになる。

(2)wakeup

やがて、selectによって命令 I_p の発行が決定されると、その結果が利用可能となる時刻も決まる。すると I_c のrdyLは、適当なタイミングで“1”にセットされ、 I_c は、『起こされる(wakeup)』ことになる。本稿では、wakeupは、命令の発行が決定した際のrdyL/Rの更新処理と定義する。

(3)select

rdyL/Rが共にセットされている命令が、実行可能な命令である。selectでは、あいている実行ユニットに対して、発行可能な命令から実際に発行するものが選択される。

3.1.2 動的命令スケジューリングとパイプライン

この節では、動的命令スケジューリングの各処理をパイプライン化することを考える。

命令スケジューリングの3つのフェーズのうち、特に問題となるのがwakeup,selectのフェーズであり、パイプライン化が必ずしも可能ではない。以下、パイプライン化について説明を行う。

wakeup,select,issueのパイプライン化

図2に、wakeup、select、issueの命令パイプラインでの位置付けとその動作の様子を示す。同図は、MIPS R10000のパイプライン構成に準ずる。[7] 図中、

Exec は実行を、RF →と→RF は、物理レジスタ・ファイルに対する読み出しと書き戻しを表す。

同図は、タイミングが最もクリティカルの場合、すなわち、実行のレイテンシが1である命令 I_p の次のサイクルで I_c が実行される場合を示している。 I_p が生成したデータは、オペランド・バイパスを通過して I_c の実行に使用される。

図2(a)は、wakeup+select を1サイクルで行った場合、図2(b)は、wakeup+select を1サイクル以上かけて行った場合を示す。

遅延とパイプライン化

wakeup と select は、一般にはパイプライン化することができない。図2からわかるように、wakeup と select は合わせて1サイクル以下でなければ、 I_c を I_p の次のサイクルに実行することができなくなる。このことは、レイテンシが1である演算器（通常の構成ではALU）からのオペランド・バイパスを取り除くことと等価である。この場合、IPCの悪化は5%~15%程度にもなることがわかっており [7]、クロック速度の向上に見合わない可能性が高い。このような観点から、レイテンシが1であるパスに関しては、wakeup と select は合わせて1サイクルで実行されなければならないといえる。

このうちselectの遅延は、専らゲート遅延からなるため、LSIの微細化に伴って順調に短縮されていくと予測されている。一方、wakeupの遅延は、主に、RAMのワード線、ビット線、マッチ線などの配線遅延からなるため、LSIの微細化の恩恵を受けにくい。このような理由から、wakeupは、LSIの微細化、パイプラインの深化に伴って、いっそうクリティカルになっていくと予測されている。次節では、このwakeupに対して我々が提案する手法を述べる。

3.2 直接依存行列型スケジューリング方式

我々の提案する手法では、命令ウィンドウ中の各命令間のデータ依存関係を直接的に表す依存行列(D行列)が、スケジューリングにおける中心的な役割を果たす。以下は、D行列について説明を行う。

3.2.1 D行列の概要

図3に、D行列の概念図を示す。D行列は、rdyL/R用に各1つずつ用意された $WS \times WS$ の行列である。ウィンドウ内のエン트리 $ID = p$ の命令 I_p の実行結果を、 $ID = c$ の命令 I_c が消費する場合、 c 行 p 列の要素は"1"、そうでなければ"0"とする。

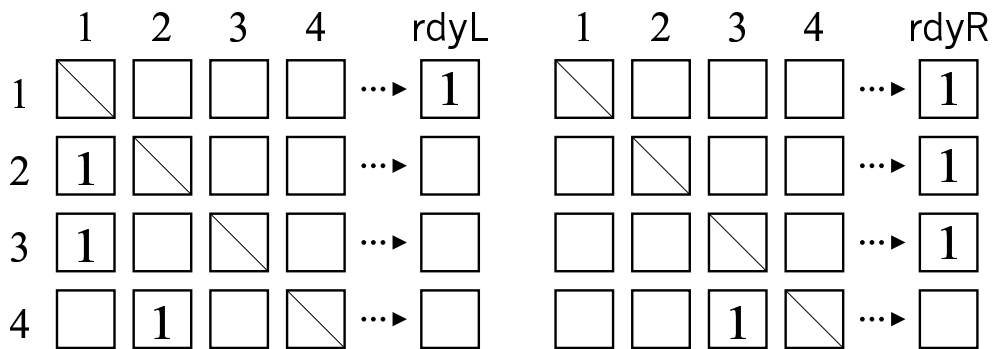


図3: 直接依存行列の概念図

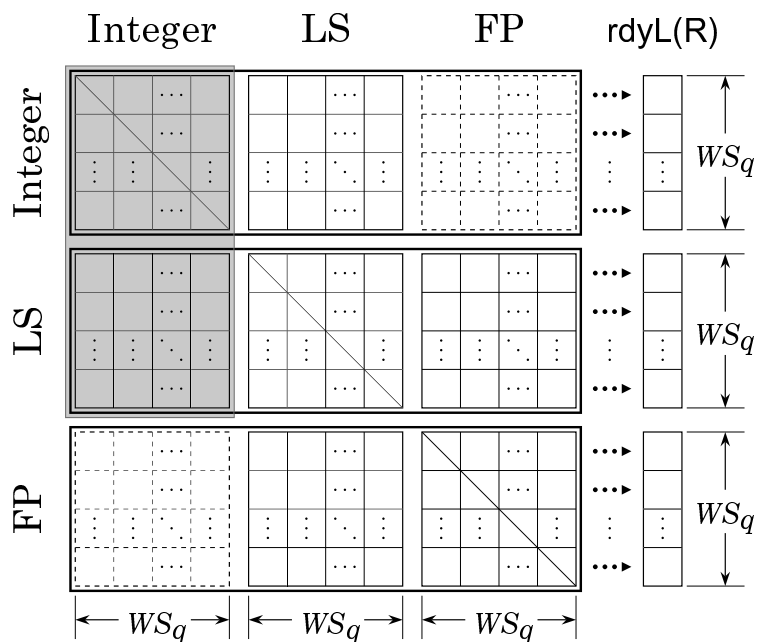


図4: D 行列の分散化

wakeup においては、発行される IW 個の I_p に対応する IW 列の bitwise-OR を求めれば、セットすべき $\mathbf{rdyL/R}$ を表す列ベクトルを求めることができる。

なお、D 行列 を実装するにあたっては、従来の CAM+RAM 方式のかわりに単に 1-read の RAM を用いればよく wakeup を高速化できる。複数行の OR を求めるための特別なロジックは必要ない。

3.2.2 D 行列の高速化

通常、動的命令スケジューリングでは、命令ウィンドウを分散化することが可能である。この命令ウィンドウの分散化を行うことで、D 行列も合わせて分散化することができ、その結果、wakeup の遅延を減少させることができる。ま

ず、命令ウィンドウの分散化について述べ、その後、D 行列の分散化の方法を述べる。

命令ウィンドウの分散化

命令ウィンドウを分散化する場合、出現命令に偏りがある場合に IPC が低下するという欠点がある。

Integer、Floatpoint、Load/Store の 3 つのクラス毎に命令ウィンドウを分散化する場合を考える。命令ウィンドウのエントリ数が全体で 30、各クラスごとの命令ウィンドウのエントリ数を 10 とする。このとき、Integer の命令のみが 20 個続けて出現した場合、命令ウィンドウを分散化していない場合は、全ての命令を命令ウィンドウに割り当てることが可能である。一方、分散化をしている場合は、Integer 用の命令キューのエントリ数が 10 しかないため命令の割り当てができない。しかし、上記の例は極端な例であり、実際に命令ウィンドウの分散化を行った結果、IPC に対する影響は非常に小さく個々のロジックを大幅に単純化できることがわかっている。

よって、実際の命令ウィンドウは、クラス毎に設けられたリザベーションステーションや命令キューとして分散化されることが多い。ロジックの遅延を考えるにあたっては、この分散化を避けては通れない。

分散化の効果には、次の 2 つがある：

(1) 構成要素のパラメータが大幅に縮小される。

複数のキューが分散化した場合、個々の構成要素パラメータが大幅に縮小される。各命令キューの命令発行幅とサイズを IW_q 、 WS_q とした場合、パラメータは以下のようなになる。：

- 命令キューのサイズは、 WS から WS_q に縮小される。
- 命令キューの命令発行幅は、 IW から IW_q に縮小される。
- select ロジックは、 $WS \rightarrow IW$ から $WS_q \rightarrow IW_q$ に縮小される。ただし、 $WS \rightarrow IW$ とは、 WS 個の発行要求から IW 個を選択することを表す。

(2) 演算器の実行レイテンシに合わせた最適化が可能になる。

実行レイテンシが 1 である演算器からはオペランド・バイパスがあるパスでは、wake up と select は合わせて 1 サイクルで実行する必要がある。R10000 の場合、この条件を満たすのは、

- 整数から整数

- 整数からロード/ストア

の2ヶ所である。この2ヶ所以外では、wakeup と select を適当にパイプライン化してよい。次にD行列の分散化について述べる。

D行列の分散化

命令ウィンドウが q 本のサイズ WS_q の命令キューに分散化されたとき、D行列は、図4のように、 q 個の WS 行 WS_q 列の部分行列に分割される。この分割によって得られるメリットには以下の2つがある。

パラメータの減少

書き込みポート数が IW から IW_q に減少する。

レイテンシにあわせた最適化

3.1.2節で述べたようにパイプライン化が不可能な場合は、命令が最もクリティカルな場合、つまり、 I_p の実行レイテンシが1の場合である。この条件を満たすのは、Integer から Integer、Integer から Load/Store の2ヶ所である。パイプライン化の可・不可によってD行列をわけること、それぞれに適したD行列を構成することが可能となる。

具体的には、Integer から Integer、Integer から Load/Store の2ヶ所とそれ以外で依存行列を分ける。前者のD行列を**L-1D**行列、後者のD行列を**L-2D**行列と呼ぶ。

L-2D行列においては、パイプライン化が可能であるため、wakeupの遅延がクリティカルになることは少ないと考えられる。一方、L-1D行列は、パイプライン化が不可能なため、wakeupの遅延がクリティカルになる。

L-1D行列は、元のD行列からすると格段に小型化されているためその読み出し遅延も短くなる。さらに、L-1D行列に対しては以下に述べる高速化手法を適用することができる。

L-1 D行列の縮小

一般的に依存する命令間の距離は短い場合が多く、32命令以下の場合が90%以上を占めることがわかっている。この性質を利用してwakeupを高速化することができる。

具体的には、後続の w 命令に対するビットだけをL-1D行列に残し、それ以外をL-2にうつすのである。 $rdyL/R$ は、命令間の距離が w 以下の場合にはL-1によって、それ以外ではL-2D行列によって更新される。

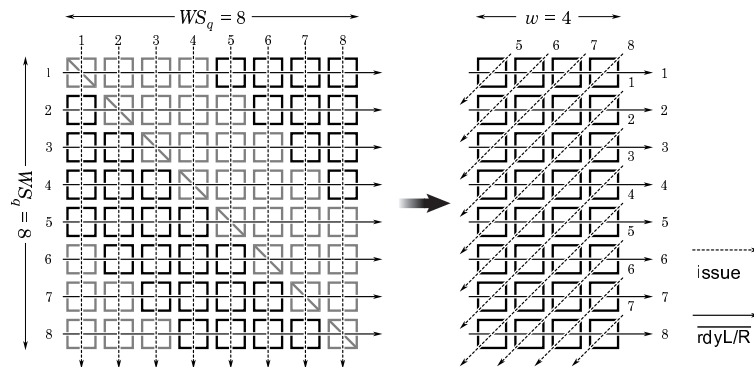


図5: D行列の縮小化

図5に、L-1 D行列の縮小の様子を示す。左は元々の、右が縮小後のL-1 D行列である。同図では、 $WS = 8$ 、 $w = 4$ である。元々L-1 D行列から削除されるセルを、左図で薄く示している。必要なセルを矩形領域に集める方法としては、よりクリティカルであるビット線の長さを短縮するために右図のように行う。ここで、 w をL-1 D行列の幅と呼ぶ。

図5の右図から明らかなように、縮小されたL-1 D行列のワード線、ビット線は、それぞれ w 個のセルにしか接続されておらず、それぞれの長さは WS とは無関係で、 w によってのみ決めることができる。このため、L-1D行列の遅延は、 WS とは無関係となり、幅 w によって決めることができる。ただし、IPCの悪化を許容範囲に抑えつつ幅 w をどこまで縮小できるかは、 WS の大きさによる。

第4章 クラスタ化スーパーケーラ・プロセッサと直接依存行列型スケジューリングの組み合わせ

この章では、第2章、第3章でそれぞれ述べた、クラスタ化スーパーケーラ・プロセッサに直接依存行列型スケジューリング方式を組み合わせる方法について述べる。

まず、集中キュー型、分散キュー型のスーパーケーラ・プロセッサに対して、第3章で述べた直接依存行列型スケジューリングを導入方法について述べる。また、本稿で提案する「仮想分散キュー型」についても述べる。仮想分散キュー型とは、集中キュー型の命令ウィンドウを仮想的に分散化することによって、集中キュー型と分散キュー型の利点を共に持つと考えられる方式である。

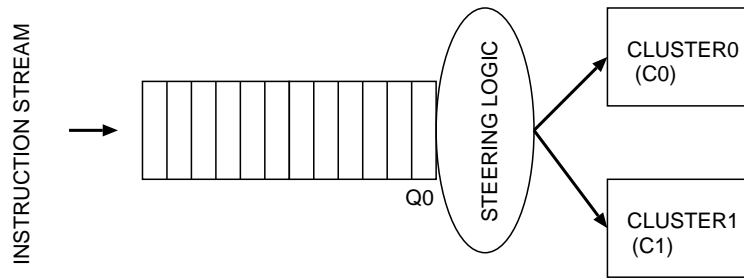


図6: 集中キュー型

その後、各方式の IPC 及び wakeup の遅延に影響を及ぼす要素についての比較を行う。これは、直接依存行列型スケジューリング方式を適用した、集中キュー型、分散キュー型、仮想分散キュー型の各方式を比較する際、IPC の悪化を許容範囲に抑えつつ、どこまで wakeup の遅延を減少できるかが焦点となるからである。

4.1 D 行列と集中キュー型スーパースケーラ・プロセッサ

4.1.1 D 行列の導入方法

図6に集中キュー型の構成を示す。図6に示すように集中キュー型の場合は、クラスタ化を行っている以外は、従来型のスーパースケーラ・プロセッサと構成が等しいため、D 行列も従来のスーパースケーラ・プロセッサと同様に導入すればよい。

4.1.2 Steering ロジック

第3章でも述べたように、集中キュー型においては Exec_Steering を用いる。今回導入している Exec_Steering のロジックは以下の通りである。

- CLUSTER を番号順に走査していき、空いている実行ユニットがあれば、その実行ユニットへ issue する。

4.2 D 行列と分散キュー型スーパースケーラ・プロセッサ

4.2.1 D 行列の導入方法

図7に分散キュー型を示す。

分散キュー型の場合は、Dispatch_Steering によって、異なる命令ウィンドウに依存元命令 I_p と依存先命令 I_c をそれぞれ割り当てた際、 I_p 、 I_c は、そのまま異なるクラスタの実行ユニットに割り当てられるため cluster delay が生じ

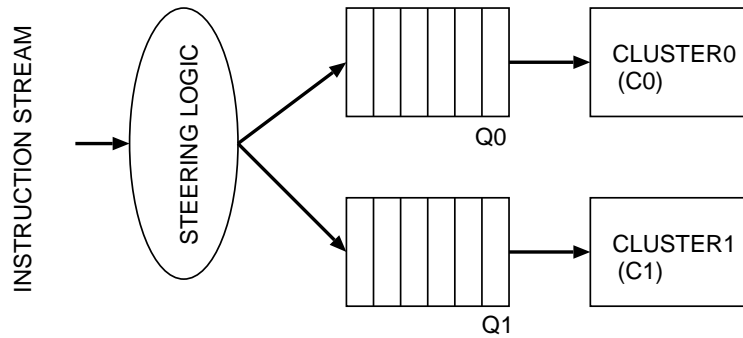


図7: 分散キュー型

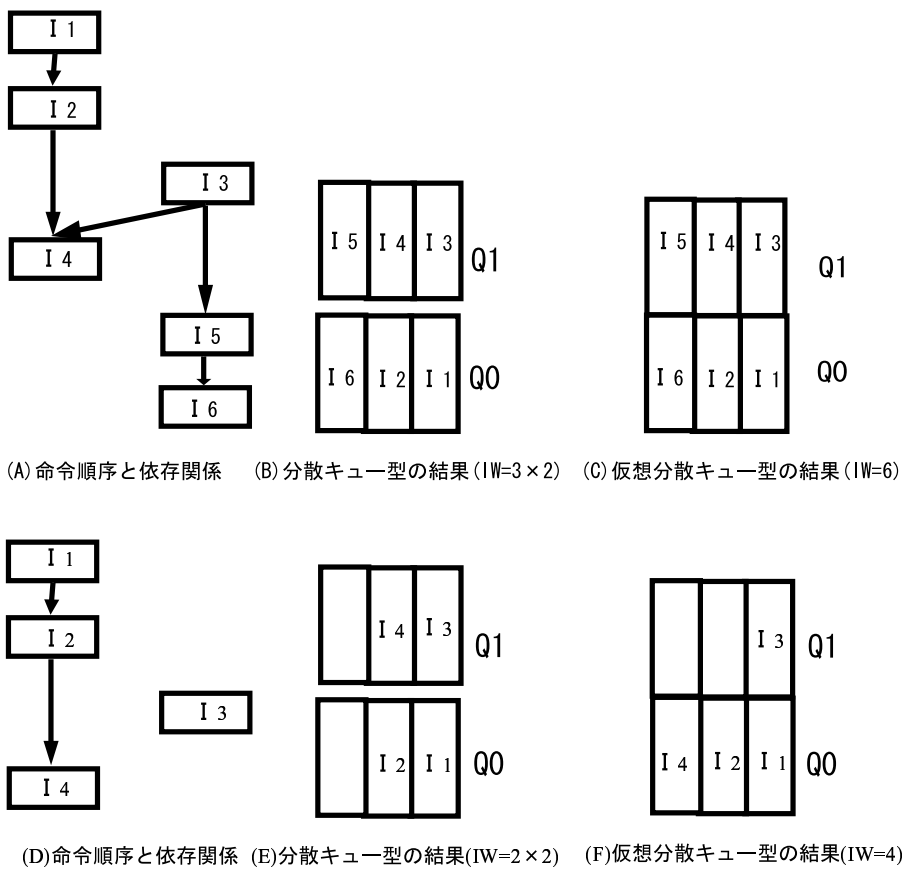


図8: Dispatch_Steering ロジック

異なる命令ウィンドウに命令を割り当てる場合は、命令 I_c からみると、命令 I_p は cluster delay が生じるため実行レイテンシ 2 の命令と等価であるとみなせる。この場合、wakeup+select を 1 サイクル以上かけることが可能となる。一方、同一命令ウィンドウに命令が割り当てられた場合は、クラスタと対応する命令ウィンドウの構成は、従来型のスーパースケラ・プロセッサと等しい

ため、L-1D 行列を用いるのは、 I_p の実行レイテンシが1 の場合である。以上から、分散キュー型スーパースケラ・プロセッサの場合、wakeup+select を1 サイクル以内で行わなければならないのは、命令 I_p 、 I_c が共に同じ命令キューに存在し、かつ I_p の実行レイテンシが1 の場合である。

第3章で述べたように、L-1 D 行列を使うときは、wakeup+select がクリティカルになる場合、つまり、wakeup+select を1 サイクル以内で行う場合であった。つまり、L-1 D 行列は、同じ命令キューの命令の実行においてのみ用いればよく、L-1 D 行列は各クラスタに分散化できることがわかる。

以下に L-1 D 行列を分散化する方法を示す。

n 個のクラスタに実行ユニットが分散されたとし、分散キュー型の場合には、分散化された命令キューのエントリ数は、 WSq/n となる。

この場合、 $(WSq-1)b \times WSq$ word の L-1D 行列を、 n 個のサイズの $(WSq/n-1)b \times WSq/n$ word の L-1D 行列に分割する。

4.2.2 Steering ロジック

分散キュー型で導入している Dispatch_Steering のロジックを、図8に示す。

図8(B)に割り当てる命令を図8(A)に、図8(E)に割り当てる命令を図8(D)に示す。図8(A)(D)において命令をつなぐ矢印は依存の方向を表し、「 $I_p \rightarrow I_c$ 」のように依存元から依存先へつながっている。また、命令 $I1 \sim I6$ は、命令順に番号を付けている。

なお、クラスタ数 n 、スーパースケラ・プロセッサ全体の命令発行幅を IW 、命令キューのエントリ数を WS とした場合、分散キュー型の命令キューは、 n 個の命令発行数 IW/n 、各命令キューの最大エントリ数 WS/n の命令キューに分散化されると考えられる。

図8(B)は、分散キュー型において、各命令キューが命令発行幅3、エントリ数3である場合の Dispatch_Steering の例を、図8(E)は、分散キュー型において、各命令キューが命令発行幅2、エントリ数3である場合の Dispatch_Steering の例を示している。

分散キュー型で用いている Dispatch_Steering は、以下の通りである。

1. 命令 I_c を issue する場合、依存元 I_p が存在しない場合は、最も命令キューの空きの多い命令キューに dispatch する。
2. 依存元命令 I_p がある場合は、 I_p がある命令キューのうち最も空きの多い命令キューに dispatch する。

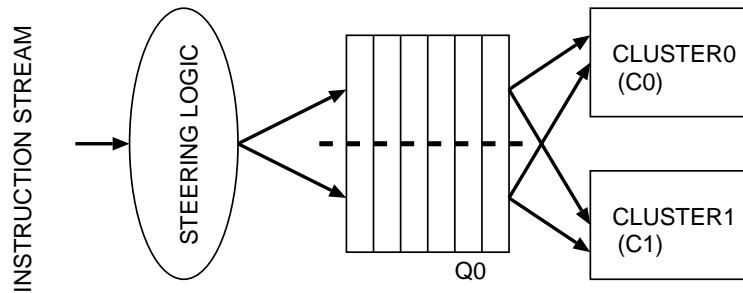


図9: 仮想分散キュー型

3. 各命令キューの空きが等しい場合は、キュー番号の若い命令キューに命令を割り当てる。
4. 条件1、2、3にあてはまった際に、命令キューのエントリ数を超える、あるいは命令キューへの命令発行数を超える場合は、別の命令ウィンドウに命令を割り当てる。

図8(b)において、I3をDispatch_Steeringするときに条件1、I4をDispatch_Steeringするときに条件2、I1をDispatch_Steeringするときに条件3、I6をDispatch_Steeringするときに条件4、のロジックをそれぞれ用いている。

4.3 D行列と仮想分散キュー型スーパースケーラ・プロセッサ

4.3.1 D行列の導入方法

本稿において提案する仮想分散キュー型は、図9に示すように、L-1 D行列を分散化するために命令キューを仮想的に分散化しているが、分散キュー型と異なり命令キューに対応するクラスタのみでなく他のクラスタにも、命令を割り当てることができるという方式である。

L-1D行列の分散化の方法は、4.2節で述べた通りである。

4.3.2 Steering ロジック

仮想分散キュー型では、Dispatch_Steering 及び Exec_Steering の両方でSteeringを行う。

分散キュー型で導入している Dispatch_Steering のロジックを、図8に示す。

図8(C)に割り当てる命令を図8(A)に、図8(F)に割り当てる命令を図8(D)に示す。

命令キュー全体のエントリ数をWS、命令発行幅をIW、クラスタ数を2とする。分散キュー型では、命令キューは、WS/2に分散化され、各命令キューへ

の命令発行数は、最大で $IW/2$ 、全体として IW であった。一方、集中キュー型では、命令キューへの命令発行数は、全体で IW 、エントリ数は、全体で WS となる。

仮想分散キュー型は、各命令キューを仮想的に分散化するため、各命令キューのエントリ数は、 $WS/2$ となる。しかし、仮想分散キュー型では、実際には命令キューは分散化されておらず、集中キュー型と同様に1つの命令キューだとみなせるので、命令キューの命令発行幅は、全体で最大 IW となる。

図8(C)は、仮想分散キュー型において、各命令キューがエントリ数3で、全体の命令発行数が6である場合の Dispatch_Steering の例を、図8(F)は、仮想分散キュー型において、各命令キューがエントリ数3で、全体の命令発行数が4である場合の Dispatch_Steering の例を示す。

仮想分散キュー型で用いている Dispatch_Steering は、分散キュー型と同じロジックを用いている。しかし、各命令キュー毎に命令発行数が決められている分散キュー型の場合と比べ、仮想分散キュー型は全体で命令発行幅が決められているため、図8(E)(F)のように、依存関係にある命令を同一命令キューにより多く割り当てることができる。

Dispatch_Steering については分散キュー型と同じロジックであるため、以下は、Exec_Steering について述べる。

1. 命令 Ic を issue する場合、命令キューに対応するクラスタの演算器が実行可能であれば、同クラスタ内に命令を issue する。そうでない場合は、クラスタ番号順に走査し、空いている実行ユニットのあるクラスタに issue する。

仮想分散キュー型では、Dispatch_Steering の段階で依存関係を基に優先度を決定しているため、依存関係を考慮した Exec_Steering を行うことができる。

4.4 各方式の wakeup の遅延と IPC の比較

本節では、集中キュー型、分散キュー型、仮想分散キュー型について wakeup の遅延と IPC についての比較を行う。これは、直接依存行列型スケジューリング方式を適用した、集中キュー型、分散キュー型、仮想分散キュー型の各方式を比較する際、IPC の悪化を許容範囲に抑えつつ、どこまで wakeup の遅延を減少できるかが焦点となるからである。

wakeup の遅延の減少に影響を与えているものとしては、命令キューの分散化があげられている。

また、IPCに影響を与えているものとしては、Steeringの効率性、あるいはパイプラインにおけるペナルティなどがあげられる。

4.4.1 wakeupの遅延の比較

wakeupの遅延については、D行列の分散化を行うかどうかの影響を及ぼす。

分散キュー型、及び仮想分散キュー型で命令キューを分散化した場合、L-1D行列の分散化が可能である。L-1D行列の分割により分散化された個々のL-1D行列の大きさは、分散化する前のL-1D行列よりも小さくなる。よって、分散化されたL-1D行列は、分散化されていないL-1D行列と比較して、幅 w をより縮小させることができ、その結果wakeupの遅延を減少できる。以上より、分散キュー型、仮想分散キュー型のwakeupの遅延は、集中キュー型よりも減少すると考えられる。

4.4.2 IPCの比較

IPCについては、Steeringの効率とパイプラインの影響を及ぼす。まず、Steeringの効率がIPCに及ぼす影響について述べる。

Steeringの効率

Steeringには、Exec_SteeringとDispatch_Steeringがある。Exec_Steeringの場合は、実行ユニットへ直接命令を割り当てるため、実行ユニットの空きを常に把握しながら命令を割り当てることができる。一方、Dispatch_Steeringの場合、ある命令 Ip をDispatch_Steeringした時と、実際にその命令 Ip が実行される時には必ずタイムラグが存在する。そのため、dispatchの段階で先読みして命令を割り当てた場合や、キャッシュミスのためにDispatch_Steeringの予測とは異なる状況に陥いる場合に、実行ユニットに空きがなかった場合は、他のクラスタの実行ユニットに空きがある場合でも命令がselectされないことになる。

以上から、集中キュー型と比較して、分散キュー型の方がIPCの低下が大きいといえる。また、仮想分散キュー型は、Dispatch_Steeringを行った際にクラスタの優先度が決定され、Exec_Steeringの際に、まず優先度の高いクラスタに命令を割り当てようとするが、分散キュー型と違い他のクラスタにも命令を割り当てることが可能であるので、分散キュー型よりIPCが大きく、集中キュー型と同程度のIPCとなる。

次に、パイプラインで起こりうる状況について各方式の比較を行う。

cluster delayとパイプラインの状況

第2章で述べたようにスーパースケーラ・プロセッサをクラスタ化したい場合、

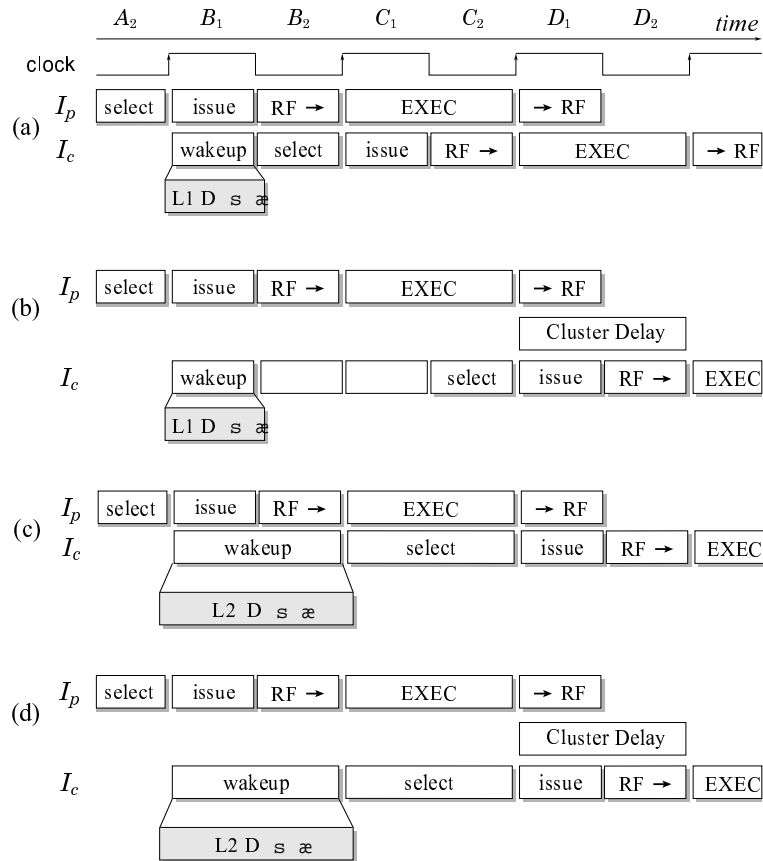


図10: cluster delay とパイプライン

異なるクラスタ間の転送には cluster delay が生じる。この cluster delay が生じることで、3.1.2節で述べた、従来のスーパースケラ・プロセッサのパイプラインの状況に加えて更に新たなパイプラインの状況が生じることになる。本項では、まずこのパイプラインについてまとめ、その後各方式の比較を行う。

図10は、命令が最もクリティカルな場合、つまり、 I_p 及び I_c の実行レイテンシが1の場合のパイプラインの状況を表している。ここでは簡単のため、L-1D 行列の幅は $w = WSq$ の場合、つまり、L-1D 行列の縮小は行っていない場合を考える。よって、 I_p と I_c の命令間の距離が L-1D 行列の幅 w を超えることはないものとし、L-1D 行列を用いるのは、命令が同一命令キューにある場合、L-2D 行列を用いるのは、命令が異なる命令キューにある場合とする。

wakeup+select を行う際、L-1D 行列を用い1サイクル以内に行う場合と、L-2D 行列を用い1サイクル以上で行う場合の2通りがある。また、異なるクラスタに命令 I_p と I_c を割り当て cluster delay が生じる場合と、同一クラスタに命

令 I_p と I_c を割り当て cluster delay が生じる場合の 2 通りがある。

これらの状況をあわせると、クラスタ化スーパースケラ・プロセッサに直接依存行列型スケジューリング方式を用いた場合にパイプラインの状況として考えられるのは、 $2 \times 2 = 4$ 通りである。これらのパイプライン化の様子が図 10 の (a)~(d) である。

次にそれぞれの場合について説明をおこなう。

(a)L-1D 行列を用いて cluster delay がない場合

L-1D 行列で wakeup がなされ、同一クラスタに命令が割り当てられた場合であり特に問題はない。

(b)L-1D 行列を用いて cluster delay がある場合

L-1D 行列で wakeup がなされ、異なるクラスタに命令が割り当てられた場合である。この場合、 I_c のパイプラインをそのまま進めると、 I_p の結果が I_c の実行結果に間に合わなくなる。そのため、何らかの方法で、 I_c の実行を遅らせる必要がある。

(c)L-2D 行列を用いて cluster delay がない場合

L-2D 行列で wakeup がなされ、同一クラスタに命令が割り当てられた場合である。L-2D 行列を用いているために wakeup 直後に I_c が実行できなくなり、L-1D 行列を用いた場合と比べて 1 サイクル遅れている。

(d)L-2D 行列を用いて cluster delay がある場合

L-2D 行列で wakeup がなされ、異なるクラスタに命令が割り当てられた場合である。示しているようにやはり 1 サイクル遅れている。

以上をまとめると、(a) の場合は、特にペナルティなく wakeup を行うことが可能であり、(b)~(d) の場合は、いずれも 1 サイクルのペナルティが生じるといえる。

集中キュー型において、パイプライン化の際に起こりうるパターンは、(a)(b) の 2 通りである。(b) に陥る頻度は、Exec_Steering の性能に依存する。単に空き実行ユニットが存在するクラスタにランダムに割り当てる場合が最悪であろう。依存関係まで考慮し、できるだけ同一のクラスタに割り当てようとする場合には、割り当てようとするクラスタに空き実行ユニットが存在するかどうかにも依存する。

分散キュー型において、パイプライン化の際に起こりうるパターンは、(a)(d)

の2通りである。(d)に陥るのは、Dispatch_Steeringで依存関係にある命令が異なるウィンドウにdispatchされた場合である。この頻度は、まずDispatch_Steeringの依存解析の性能による。依存解析があたった場合で、更に(d)に陥る場合は、割り当てようとしたウィンドウの空きが問題となる。

仮想分散キュー型において、パイプラインの際に起こりうるパターンは、(a)(b)(c)(d)の全通りである。異なるウィンドウに命令を割り当てる(c)(d)に関しては分散キュー型の議論と同様である。また、(b)に関しても、集中キュー型の議論と同様である。

仮想分散キュー型は、集中キュー型と比べ、パイプラインの状況で(c)(d)に陥る分は、集中キュー型よりもIPCが低下すると考えられる。また、分散キュー型と比べ、パイプラインの状況で(b)に陥る分は、分散キュー型よりもIPCが低下すると考えられる。

なお、実際にどの程度IPCが下がるかは、パイプラインのペナルティの発生の頻度による。

4.4.3 集中キュー型、分散キュー型に対する仮想分散キュー型の位置付け

最後に本節のまとめとして、集中キュー型、分散キュー型に対して、提案する仮想分散キュー型がどのような位置付けにあるのかについてまとめる。

仮想分散キュー型は、集中キュー型と比較して、L-1D行列の分散化がなされている分、wakeupの高速化ができる。命令キューの制限がなく、両方式において完全に依存関係を解析できるという理想状態の場合であれば、仮想分散キュー型と集中キュー型は、Steeringの効率も、パイプラインの状況も一緒となり、IPCは等しく、L-1D行列の分散化によりwakeupの高速化が可能であるため、仮想分散キュー型の方が性能は高いと考えられる。しかし、現実的には、仮想分散キュー型は、集中キュー型と比較して、パイプラインの状況で(c)(d)で生じるペナルティ分IPCが低下する。よって、仮想分散キュー型は、現実的には、wakeupの高速化の利点の方が、パイプラインの状況で(c)(d)で生じるペナルティによるIPCの低下という欠点より効果が高ければ、集中キュー型よりも性能がよいといえる。

仮想分散キュー型は、分散キュー型と比較して、Exec_SteeringすることでSteeringの効率を高めIPCを高めるという利点が、Exec_Steeringすることで新たにパイプラインの状況で(b)に陥りペナルティが生じるという欠点よりも効果があれば、分散キュー型よりも性能がよいといえる。

各方式の性能を比較するために、次章では実際に IPC の測定を行う。

第5章 性能評価

Simple Scalar ツールセット (ver.2.0) に対して、第4章で述べた分散キュー型・集中キュー型・仮想分散キュー型のスーパースケラ・プロセッサに L-1 D 行列の縮小を実装し、SPEC ベンチマークを用いて L-1 D 行列の幅に対する IPC の評価を行った。

5.1 評価モデル

以下に述べるクラスタ化スーパースケラ・プロセッサを、集中キュー型、分散キュー型、仮想分散キュー型の各方式を実装したものを評価する。

ベースとしては、MIPS R10000 を用いるが、パラメータに変更を加えてある。

整数演算、LS、FP 演算のそれぞれに命令キューを持ち、 $(IW_q, IW, WS_q) = (4, 8, 32)$ である。命令/データ 1 次キャッシュ及びデータ統合 2 次キャッシュの容量は、ライン・サイズ、レイテンシは、それぞれ、32KB、64B、2 サイクル、及び、8MB、64B、7 サイクルである。2 次キャッシュ・ミス時には、最初のワードに 12 サイクル、後続ワードには 2 サイクル/ワードが必要である。分岐予測には、履歴長 12、4K エントリの gshare を用いた。

スーパースケラ・プロセッサのクラスタ数は 2、実行ユニット数は各方式全て同一で、各クラスタの命令発行幅は、 $IW_q = 2$ とする。

各方式の Steering の実装に関しては、第4章で述べた通りである。分散キュー型と仮想分散キュー型のウィンドウサイズは、それぞれ $WS_q/2 = 16$ である。

集中キュー型を基準モデルとし、基準モデルの L-1D 行列の幅を縮小させなかった場合、つまり $w = 32$ の場合の IPC に対する各方式の IPC の比率を求める。

5.2 評価結果

集中キュー型、仮想分散キュー型、分散キュー型の各方式において、基準モデルに対する IPC 比率と幅 w の比率を測定した結果が、図 11、図 12、図 13 である。横軸は L-1D 行列の幅 w 、縦軸が基準モデルに対する IPC の比率である。また、図 14 は、基準モデルに対する各方式の IPC 比率の相加平均を比較したものである。

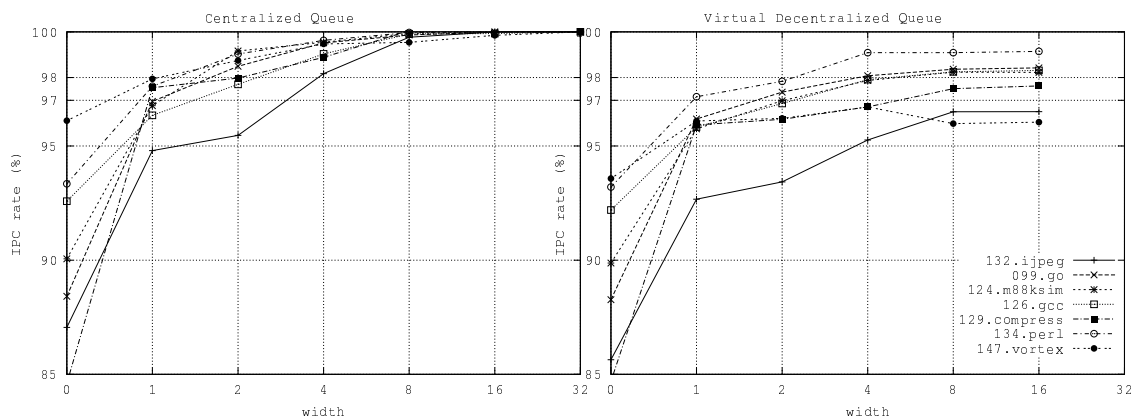


図 11: 集中キュー型IPC 比率

図 12: 仮想分散キュー型IPC 比率

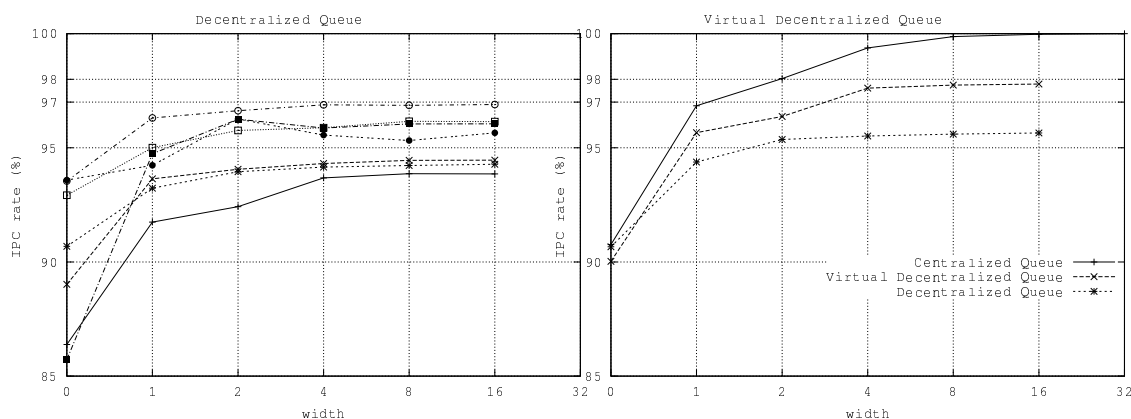


図 13: 分散キュー型IPC 比率

図 14: 各方式の平均IPC 比率

基準モデルに対する各方式の IPC 比率の比較

各方式においてL-1D 行列を縮小しない場合、つまり、集中キュー型では $w = 32$ 、分散キュー型、仮想分散キュー型では $w = 16$ の場合を比較する。この場合、基準モデルである集中キュー型と比較して、仮想分散キュー型では、IPC の比率は1%~4%程度、平均して2.3%程度悪化している。分散キュー型では、IPC の比率は3.1%~5.6%程度、平均して4.5%程度悪化している。

各方式のL-1D 行列の幅 w を等しくして比較してみたとき、どの幅 w においても集中キュー型と比べて、分散キュー型、仮想分散キュー型のIPC は落ちていた。これは、全実行ユニットの使用率が低く、1つのクラスタ内で十分命令処理を行えるため、依存関係を考慮に命令を各クラスタに割り当てる分散キュー型、仮想分散キュー型 Steering よりも、クラスタの番号の若い順から空いてい

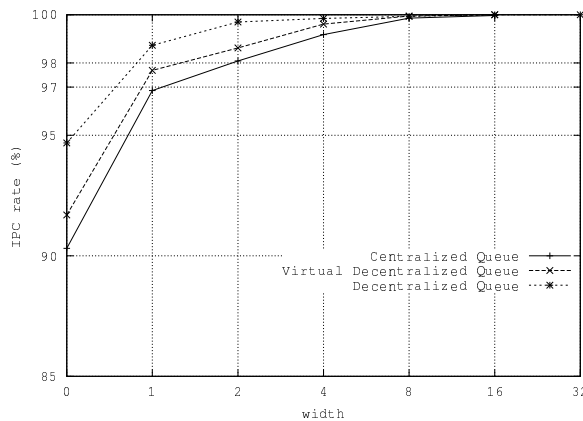


図15: 各方式の平均IPCの悪化の傾向

る実行ユニットを探すSteeringの方が、cluster delayの頻度が少ないからだと考えられる。

なお、分散キュー型と比較して、仮想分散キュー型の方が、平均して2%程度IPCが向上している。

各方式におけるL-1D行列の幅とIPCの悪化の傾向

図15は、各方式においてそれぞれの依存行列の幅を縮小しない場合を基準モデルとし、それに対して、各方式のIPC比率を見たものである。

結果より、全ての幅wにおいて、命令キューの分散化によって依存行列の幅に対するIPCの低下を抑えられている。仮想分散キュー型が分散キュー型と比較してIPCの低下が大きいのは、Dispatch_Steeringの命令キューの命令発行幅が大きいいため、命令キュー内にある命令同士の距離幅が大きくなりやすく、L-1D行列の幅wを超えペナルティが生じる場合が多くなるためだと考えられる。

第6章 まとめ

本稿では、クラスタ化スーパースケラ・プロセッサに対して、直接依存行列型スケジューリング方式を適用する場合について述べた。クラスタ化スーパースケラ・プロセッサの命令キューが分散化されている場合、各命令キューに直接依存行列を分散化して適用することで、wakeupの遅延を減少させることができる。一方、命令キューを分散化することで、クラスタへの命令振分け効率が悪くなるという問題に対して、仮想的に命令キューを分散化させる方式を提

案した。

今回の評価結果から、仮想分散キュー型は、集中キュー型と比べて、L-1D 行列の分散化による利点よりも、集中キュー型よりもパイプラインについてのペナルティが多く IPC が低下するという欠点の方が大きいことがわかった。これは、現在実装している Steering の性能によるものもあるが、それ以上にプログラムの命令並列性が少ないために、一度に処理できる命令数に限界があり、その結果、実行ユニットの空きが十分で、1つのクラスタで十分命令処理を行っていることを意味する。

一方、仮想分散キュー型は、分散キュー型と比べて、wakeup の高速化の程度が低いにも関わらず、IPC は分散キュー型よりも大きかった。これは、Steering を効率よく行うことの方が、パイプラインのペナルティよりも効果が高いことを意味する。

各方式の比較をより詳細に行うためには、命令並列性を高める必要があると思われる。今後は、Load の投機的実行を実装し、命令並列性を高めて各方式の評価を行いたい。

謝辞

本研究を進めるに当たり、多くの御指導を賜りました富田眞冶教授に深く感謝の意を表します。そして、日頃より熱心に指導して下さい、本報告書の作成に対しても多大なる助言を頂きました五島正裕氏に心から感謝致します。また、日頃より技術的、精神的に支援して下さい、数多くの助言を頂いた富田研究室の皆様に感謝致します。

参考文献

- [1] Palacharla, S., Jouppi, N. P. and Smith, J. E.: Quantifying the Complexity of Superscalar Processors, Technical report, Univ. of Wisconsin-Madison (1996).
- [2] Palacharla, S., Jouppi, N. P. and Smith, J. E.: Complexity-Effective Superscalar Processors, *Proc. 24th Int'l Symp. on Computer Architecture (ISCA24)* (1997).
- [3] G. A. Kemp and M. Franklin : PEWs : A Decentralized Dynamic Scheduler

- for ILP Processing, *Proc. Int. Conf. on Parallel Processing* (1996).
- [4] Farkas, K. I., Chow, P., Jouppi, N. P. and Vranesic, Z.: The Multicluster architecture: reducing cycle time through partitioning, *Proc. 30th Int'l Symp. on Microarchitecture* (1997).
 - [5] Keller, J.: The 21264: A Superscalar Alpha Processor with Out-of-Order Execution, *Proc. 9th Annual Microprocessor Forum* (1996).
 - [6] 五島正裕, 西野賢悟, ゲンハイハー, 縣亮慶, 中島康彦, 森眞一郎, 北村俊明, 富田眞治: スーパースケラのための高速な動的命令スケジューリング方式, *情報処理学会論文誌: ハイパフォーマンスコンピューティングシステム*, Vol. 42, No. SIG 9(HPS 3), pp. 77-92 (2001).
 - [7] Yeager, K. C.: The MIPS R10000 Superscalar Microprocessor, *IEEE Micro*, No. 4, pp. 28-40 (1996).
 - [8] 西野賢悟, 小田累, 五島正裕, 中島康彦, 森眞一郎, 北村俊明, 富田眞治: スーパースケラのための高速な動的命令スケジューリング方式のIPCの評価, *情報研報 2001-ARC-144 (SWoPP 2001)* (2001).
 - [9] Dualflow Project Team: Dualflow シミュレータ仕様書 (1999).